

密度フリード数の小さなプリュームの混合希釈特性

大阪大学工学部 正員 室田 明
 大阪大学工学部 正員 中辻 啓二
 大阪大学大学院 学生員 石田 悅一

1. 考え方； 密度フリード数 F_d の小さなプリュームの研究は温排水の混合希釈過程の解明を目的に従来から数多く行われてきたし、もちろん噴流に関する研究も數多い。しかししながら、浮力効果の卓抜する F_d 数の小さなプリュームに関する知見は得られていない。 F_d 数の小さなプリュームは下水処理水を海域に放流するような密度差の大きい場合や水頭差をとれなくて低流速で放流する場合等に見られる。近年の下水道の整備とともに、この種の施設は増大する傾向があり、放流設備の合理的な設計が必要とするところ。本研究では浅水域に鉛直上向きに放出された F_d 数の小さな軸対称プリュームの混合希釈特性を実験的に明らかにする。

2. 実験； 幅3m、長さ4m、高さ0.5mの拡散水槽に淡水を満たし、口径5cm、2.5cmの放流口から温度差プリュームを鉛直上向きに放出する実験を行った。実験諸元は表-1に示す。温度は26個のサーミスターを用いて多点同時計測を行った。また、プリューム軸については小型プロペラ流速計を併用して流程方向速度も測定した。サーミスターの時定数は0.4秒である。

3. 噴流断面内温度特性； Chen-Rodi¹⁾によれば、鉛直上向きプリュームは流動とともに噴流的打撃運動から遷移過程を経てプリューム的打撃運動を呈する。そこで、各領域の代表的打断面の平均温度と相対乱れ強さを測定して示したのが図-1,2である。横軸打断面上温度の1/2となる半值半幅で無次元表示した距離を示す。平均温度分布は各領域ともにガウス形を示しており、相異点はみあたらぬといふが、温度変動はそれそれ異なる分布を示す。

各領域とも乱れ強さは軸上で最小値をとり、 $y_{0.5} \approx 2.3$ の外縁部で最大値をとる傾向にあるが、その絶対値はプリューム領域の方が噴流領域よりも最小値、最大値ともに大きくなる。また、最大値付近の分布は、プリューム領域で非尖塔的になる傾向がある。平均温度もこれに対応してプリューム領域で増大していることを考え合せると、温度変動には可視観測で観られるプリューム外縁の“からぎ”的影響を顕著に反映しているものと推察できる。

表1 実験諸元

Run No.	u_0 (cm/s)	T_0 (°C)	T_b (°C)	ΔT	Re
A-1	7.6	22.9	61.2	0.0148	8090
A-2	14.0	23.0	63.2	0.0159	15250
A-3	34.1	21.1	61.6	0.0148	3.966
A-4	7.6	23.5	42.4	0.0063	1.348
A-5	14.0	23.3	42.6	0.0063	2.558
A-6	34.1	23.3	42.5	0.0063	6.015
A-7	7.6	24.8	71.2	0.0200	0.763
A-8	14.0	25.4	71.4	0.0200	1.399
B-1	12.1	9.6	63.5	0.0184	1.813
B-2	38.9	9.1	50.1	0.0119	7.216
B-3	53.9	9.1	30.4	0.0043	6.660
					16950

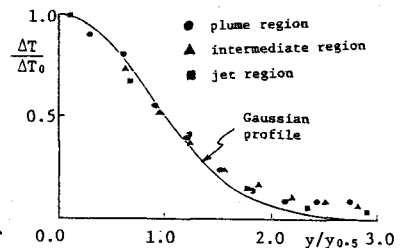


図1 断面内温度分布

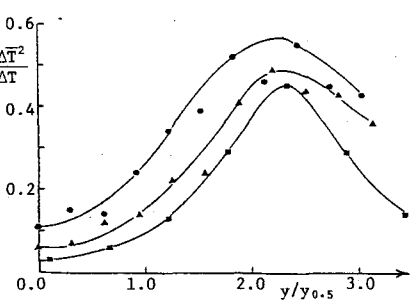


図2 断面内相対乱れ強さ分布

4. 軸上の温度、速度の遮減特性；

図3,4はプリューム軸上の温度ならびに速度の遮減特性を示す。図中の実線はChen-Rodiにより次元解析から求められた半経験式であり。比較のために示した。今回得られた実験結果によれば、放流口から十分離れた無次元距離 X_* においては図中の実線に漸近することになる。 $0.5 < X_* < 5.0$ の遷移領域で $T_* \propto X_*^{-\frac{1}{2}}$, $\bar{V}_* \propto X_*^{-\frac{1}{3}}$, $5.0 < X_*$ のプリューム領域で $T_* \propto X_*^{-\frac{1}{3}}$, $\bar{V}_* \propto X_*^{-\frac{1}{5}}$ のように、実験値は各領域毎に一本の直線にプロットされるようである。放流口近傍において T_* , \bar{V}_* ともに理論直線にのらず小さな値を示す。その原因としてはChen-Rodiの半経験式は自己相似の仮定の下に展開された理論であり、流れの形成領域である放流口近傍で自己相似が成立しないためと考えられる。とくに、低Fdo数の場合には流れが十分に確立した段階で即座に

プリューム的挙動を呈する場合が多く、 $Fdo = 16.66$ のプリュームにおいてさえも噴流的挙動を示す範囲は非常に小さかった。各Fdo数別の温度遮減特性に注目すると、初期流速あるいは初期温度差が異なる場合においても、同じFdo数では同じ曲線に載って遮減することがわかる。また、水深と放流口径の比 H/D が10, 20と有限の水域においてはFdo数の小さい程プリューム形態に移行する距離が短かく、水表面近傍での希釈効果が大きくなる。同様に、同じFdo数のプリュームに対しては H/D が大きい程水理学的な流程は長くなり希釈効果が高くなる。Run Eに着目してみれば水表面近くの速度遮減 \bar{V}_* はいづれの場合にも半経験式より小さめにずれる傾向にある。これは、水表面の影響のためであると推察されるが、温度遮減 T_* にはそれほどの差異は認められない。運動量とスカラーラー量との保存性の違いが現われており、興味深い。

5. プリュームの拡がり幅と成層厚さ； 図5

図5は周囲水と 0.5°C 差の等温線より求めた $H/D = 10$ での拡がり幅 B/D の流程方向変化と成層厚さを示す。Fdoが4以下の拡がり率はFdo数に無関係にほぼ一定で約0.17の値を示すが、Fdo数の大きなRun A-3では $B/D = 6$ において急増大する。これは水表面の影響を反映している。成層厚さはFdo数に比例して増大し、 $B/D = 3 \sim 5$ の範囲とより有限水深水域での実験にかける水表面の影響の重要性を示す。

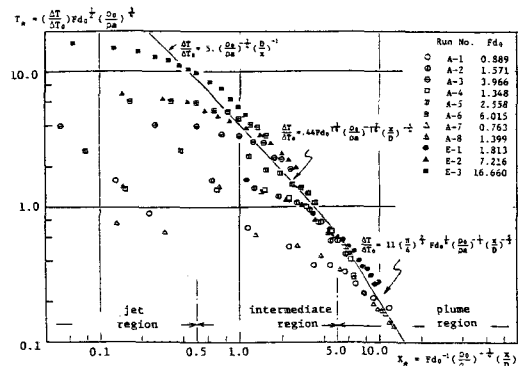


図3 中心軸上の温度の遮減特性

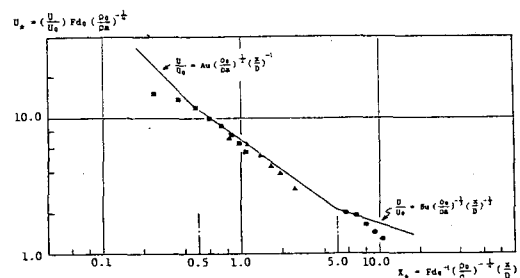


図4 中心軸上の流速の遮減特性

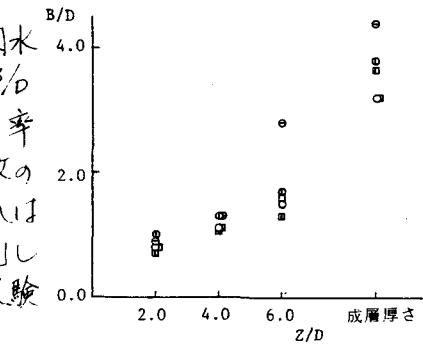


図5 拡がり幅と成層厚さ $\Delta T = 0.5^{\circ}\text{C}$

[参考文献] 1) C.J.Chen & Rodi : Pergamon Press(1976)